

Starkniederschlagshöhen und -spenden gemäß KOSTRA-DWD-2020

Rasterfeld 149101

(Zeile 149, Spalte 101)

Regenspende und Bemessungsniederschlagswerte in Abhängigkeit von Wiederkehrzeit T und Dauerstufe D

| Dauerstufe D | | Wiederkehrzeit T | | | | | | | | | | | | | | | | | |
|--------------|-----|------------------|------------|------|------------|------|------------|------|------------|------|------------|-------|------------|-------|------------|-------|------------|-------|------------|
| | | 1 a | | 2 a | | 3 a | | 5 a | | 10 a | | 20 a | | 30 a | | 50 a | | 100 a | |
| min | Std | mm | l / (s ha) | mm | l / (s ha) | mm | l / (s ha) | mm | l / (s ha) | mm | l / (s ha) | mm | l / (s ha) | mm | l / (s ha) | mm | l / (s ha) | mm | l / (s ha) |
| 5 | | 5,1 | 170,0 | 6,3 | 210,0 | 7,0 | 233,3 | 8,0 | 266,7 | 9,3 | 310,0 | 10,8 | 360,0 | 11,7 | 390,0 | 12,9 | 430,0 | 14,6 | 486,7 |
| 10 | | 7,5 | 125,0 | 9,2 | 153,3 | 10,3 | 171,7 | 11,7 | 195,0 | 13,7 | 228,3 | 15,8 | 263,3 | 17,2 | 286,7 | 19,0 | 316,7 | 21,5 | 358,3 |
| 15 | | 9,1 | 101,1 | 11,1 | 123,3 | 12,4 | 137,8 | 14,1 | 156,7 | 16,6 | 184,4 | 19,1 | 212,2 | 20,7 | 230,0 | 22,9 | 254,4 | 26,0 | 288,9 |
| 20 | | 10,2 | 85,0 | 12,5 | 104,2 | 14,0 | 116,7 | 15,9 | 132,5 | 18,6 | 155,0 | 21,4 | 178,3 | 23,3 | 194,2 | 25,7 | 214,2 | 29,2 | 243,3 |
| 30 | | 11,8 | 65,6 | 14,5 | 80,6 | 16,2 | 90,0 | 18,4 | 102,2 | 21,6 | 120,0 | 24,8 | 137,8 | 27,0 | 150,0 | 29,8 | 165,6 | 33,8 | 187,8 |
| 45 | | 13,5 | 50,0 | 16,5 | 61,1 | 18,5 | 68,5 | 21,0 | 77,8 | 24,6 | 91,1 | 28,3 | 104,8 | 30,8 | 114,1 | 34,0 | 125,9 | 38,5 | 142,6 |
| 60 | 1 | 14,7 | 40,8 | 18,0 | 50,0 | 20,1 | 55,8 | 22,8 | 63,3 | 26,8 | 74,4 | 30,8 | 85,6 | 33,5 | 93,1 | 37,0 | 102,8 | 42,0 | 116,7 |
| 90 | 1,5 | 16,4 | 30,4 | 20,2 | 37,4 | 22,5 | 41,7 | 25,6 | 47,4 | 30,0 | 55,6 | 34,5 | 63,9 | 37,5 | 69,4 | 41,4 | 76,7 | 47,0 | 87,0 |
| 120 | 2 | 17,7 | 24,6 | 21,8 | 30,3 | 24,3 | 33,8 | 27,6 | 38,3 | 32,3 | 44,9 | 37,2 | 51,7 | 40,4 | 56,1 | 44,6 | 61,9 | 50,7 | 70,4 |
| 180 | 3 | 19,6 | 18,1 | 24,1 | 22,3 | 26,9 | 24,9 | 30,5 | 28,2 | 35,8 | 33,1 | 41,2 | 38,1 | 44,8 | 41,5 | 49,5 | 45,8 | 56,1 | 51,9 |
| 240 | 4 | 21,0 | 14,6 | 25,9 | 18,0 | 28,8 | 20,0 | 32,8 | 22,8 | 38,4 | 26,7 | 44,2 | 30,7 | 48,1 | 33,4 | 53,1 | 36,9 | 60,2 | 41,8 |
| 360 | 6 | 23,2 | 10,7 | 28,5 | 13,2 | 31,8 | 14,7 | 36,1 | 16,7 | 42,3 | 19,6 | 48,8 | 22,6 | 53,0 | 24,5 | 58,5 | 27,1 | 66,4 | 30,7 |
| 540 | 9 | 25,5 | 7,9 | 31,3 | 9,7 | 34,9 | 10,8 | 39,7 | 12,3 | 46,6 | 14,4 | 53,6 | 16,5 | 58,2 | 18,0 | 64,3 | 19,8 | 73,0 | 22,5 |
| 720 | 12 | 27,2 | 6,3 | 33,5 | 7,8 | 37,4 | 8,7 | 42,4 | 9,8 | 49,8 | 11,5 | 57,3 | 13,3 | 62,3 | 14,4 | 68,7 | 15,9 | 78,0 | 18,1 |
| 1080 | 18 | 29,9 | 4,6 | 36,8 | 5,7 | 41,0 | 6,3 | 46,6 | 7,2 | 54,6 | 8,4 | 62,9 | 9,7 | 68,3 | 10,5 | 75,5 | 11,7 | 85,6 | 13,2 |
| 1440 | 24 | 31,9 | 3,7 | 39,3 | 4,5 | 43,8 | 5,1 | 49,8 | 5,8 | 58,3 | 6,7 | 67,2 | 7,8 | 73,0 | 8,4 | 80,6 | 9,3 | 91,5 | 10,6 |
| 2880 | 48 | 37,4 | 2,2 | 46,0 | 2,7 | 51,3 | 3,0 | 58,2 | 3,4 | 68,3 | 4,0 | 78,7 | 4,6 | 85,4 | 4,9 | 94,3 | 5,5 | 107,1 | 6,2 |
| 4320 | 72 | 41,0 | 1,6 | 50,4 | 1,9 | 56,2 | 2,2 | 63,8 | 2,5 | 74,9 | 2,9 | 86,2 | 3,3 | 93,7 | 3,6 | 103,4 | 4,0 | 117,4 | 4,5 |
| 5760 | 96 | 43,7 | 1,3 | 53,8 | 1,6 | 60,0 | 1,7 | 68,1 | 2,0 | 79,9 | 2,3 | 92,0 | 2,7 | 100,0 | 2,9 | 110,4 | 3,2 | 125,3 | 3,6 |
| 7200 | 120 | 46,0 | 1,1 | 56,6 | 1,3 | 63,1 | 1,5 | 71,7 | 1,7 | 84,0 | 1,9 | 96,8 | 2,2 | 105,1 | 2,4 | 116,1 | 2,7 | 131,7 | 3,0 |
| 8640 | 144 | 47,9 | 0,9 | 58,9 | 1,1 | 65,7 | 1,3 | 74,7 | 1,4 | 87,6 | 1,7 | 100,8 | 1,9 | 109,5 | 2,1 | 120,9 | 2,3 | 137,3 | 2,6 |
| 10080 | 168 | 49,6 | 0,8 | 61,0 | 1,0 | 68,1 | 1,1 | 77,3 | 1,3 | 90,7 | 1,5 | 104,4 | 1,7 | 113,4 | 1,9 | 125,2 | 2,1 | 142,1 | 2,3 |

Starkniederschlagshöhen und -spenden gemäß KOSTRA-DWD-2020

Rasterfeld 149101

(Zeile 149, Spalte 101)

Örtliche Unsicherheiten in Abhängigkeit von Wiederkehrzeit T und Dauerstufe D

| Dauerstufe D | | Wiederkehrzeit T | | | | | | | | |
|--------------|-----|------------------|-----|-----|-----|------|------|------|------|-------|
| | | 1 a | 2 a | 3 a | 5 a | 10 a | 20 a | 30 a | 50 a | 100 a |
| min | Std | ± % | ± % | ± % | ± % | ± % | ± % | ± % | ± % | ± % |
| 5 | | 17 | 16 | 15 | 15 | 15 | 15 | 15 | 15 | 15 |
| 10 | | 10 | 11 | 11 | 12 | 12 | 13 | 13 | 14 | 14 |
| 15 | | 10 | 12 | 13 | 14 | 15 | 15 | 16 | 16 | 17 |
| 20 | | 12 | 13 | 14 | 15 | 16 | 17 | 18 | 18 | 19 |
| 30 | | 13 | 15 | 16 | 17 | 18 | 19 | 20 | 20 | 21 |
| 45 | | 15 | 17 | 18 | 19 | 20 | 21 | 21 | 22 | 22 |
| 60 | 1 | 15 | 17 | 18 | 19 | 20 | 21 | 22 | 22 | 23 |
| 90 | 1,5 | 15 | 17 | 19 | 20 | 21 | 22 | 22 | 23 | 23 |
| 120 | 2 | 15 | 17 | 18 | 19 | 21 | 22 | 22 | 23 | 23 |
| 180 | 3 | 15 | 17 | 18 | 19 | 20 | 21 | 22 | 22 | 23 |
| 240 | 4 | 14 | 16 | 17 | 18 | 20 | 21 | 21 | 22 | 22 |
| 360 | 6 | 13 | 16 | 16 | 18 | 19 | 20 | 20 | 21 | 21 |
| 540 | 9 | 13 | 15 | 16 | 17 | 18 | 19 | 19 | 20 | 20 |
| 720 | 12 | 12 | 14 | 15 | 16 | 17 | 18 | 18 | 19 | 19 |
| 1080 | 18 | 12 | 13 | 14 | 15 | 16 | 17 | 17 | 18 | 18 |
| 1440 | 24 | 11 | 13 | 14 | 14 | 15 | 16 | 17 | 17 | 18 |
| 2880 | 48 | 11 | 12 | 13 | 13 | 14 | 15 | 15 | 16 | 16 |
| 4320 | 72 | 12 | 12 | 13 | 13 | 14 | 15 | 15 | 15 | 16 |
| 5760 | 96 | 12 | 12 | 13 | 13 | 14 | 14 | 15 | 15 | 16 |
| 7200 | 120 | 13 | 13 | 13 | 13 | 14 | 14 | 15 | 15 | 15 |
| 8640 | 144 | 13 | 13 | 13 | 14 | 14 | 14 | 15 | 15 | 15 |
| 10080 | 168 | 13 | 13 | 13 | 14 | 14 | 15 | 15 | 15 | 15 |

Parameter für abweichende T und D

Lokationsparameter ξ (Xi)

15,66245341

Skalenparameter α (Alpha)

4,99260127

Formparameter κ (Kappa)

-0,1

1. Koutsoyiannis-Parameter θ (Theta)

0,0881285

2. Koutsoyiannis-Parameter η (Eta)

0,77470017

Parameter für dauerstufenübergreifende Extremwertschätzung nach KOUTSOYIANNIS et al. 1998.

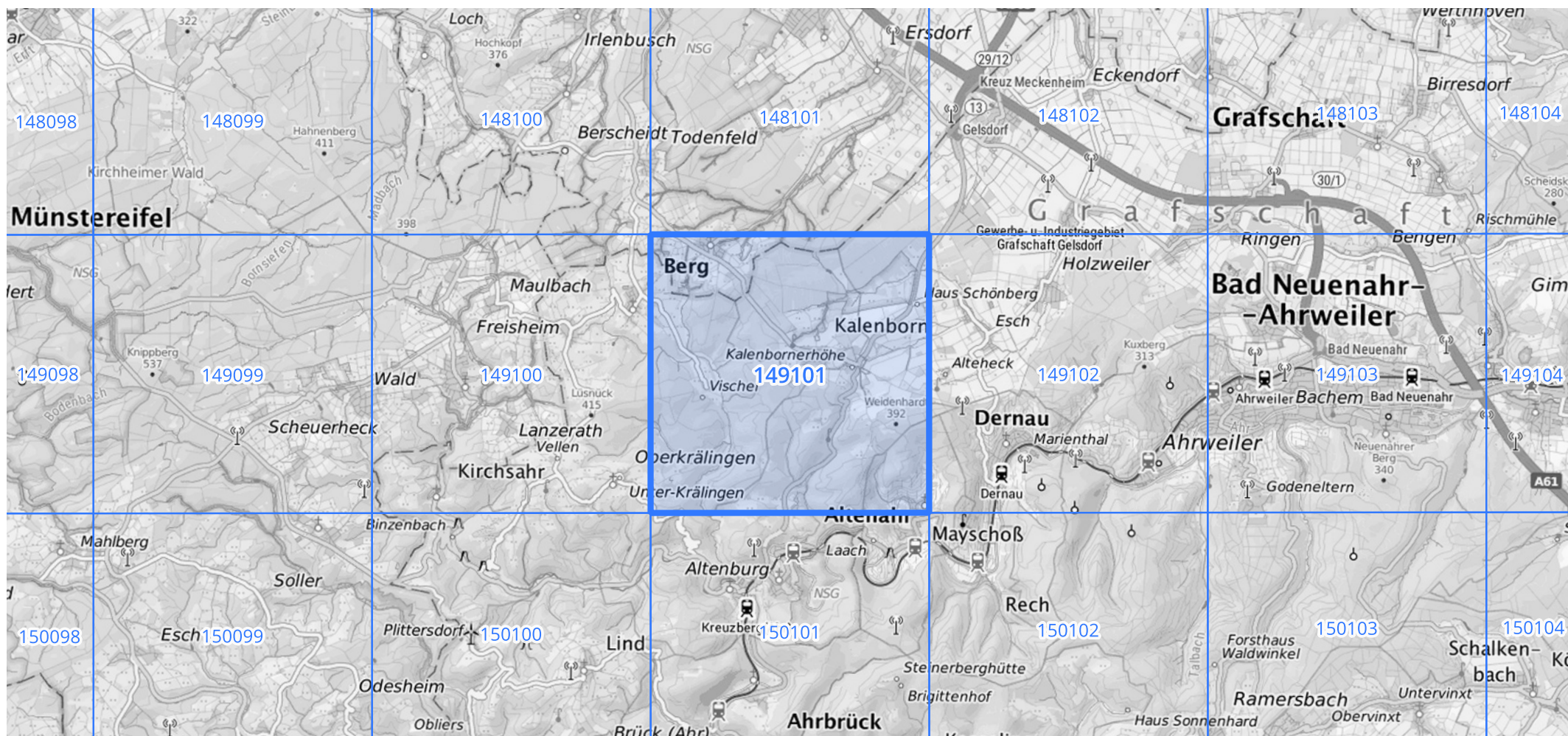
Siehe auch Anwendungshilfe zu KOSTRA-DWD-2020 des Deutschen Wetterdienstes.

Starkniederschlagshöhen und -spenden gemäß KOSTRA-DWD-2020

Rasterfeld 149101

(Zeile 149, Spalte 101)

Übersichtskarte des Rasterfeldes 149101, M 1 : 100 000



Quelle Rasterdaten: KOSTRA-DWD-2020 des Deutschen Wetterdienstes, Stand 12/2022.

Seite 3 von 3

Kartendarstellung: © Bundesamt für Kartographie und Geodäsie (2023), Datenquellen: https://sgx.geodatenzentrum.de/web_public/gdz/datenquellen/Datenquellen_TopPlusOpen.html

Für die Richtigkeit und Aktualität der Angaben wird keine Gewähr übernommen. Erstellt 01/2023.